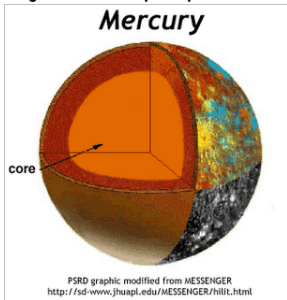


# Jouleovské zahřívání Merkuru

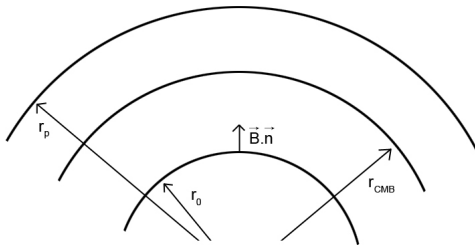
Ondřej Peisar

4. 5. 2011

- Merkur generuje vlastní magnetické pole (dynamo)
- slabé magnetické pole na povrchu (1% zemského), dominantní příspěvek dipólového členu
- velké jádro (75 % poloměru planety)
- zajímá nás příspěvek Jouleovského tepla k plášťové konvekci



- řeším sférickou rovnici  $\vec{B} + k_s^2 \vec{B} = 0$ ,  
kde  $k_s^2 = \omega \mu_0 \sigma_s$
- vrstevnatý model, vodivost v jednotlivých vrstvách považuji za



konstantní

- magnetické pole generováno hluboko ve vnitřním jádru  
(Christensen, 2006)

- dvouslupkový model  
poloměr spodku stabilní vrstvy:  $r_0 = 1250\text{km}$   
poloměr na hranici jádro-plášť:  $r_{CMB} = 1900\text{km}$   
poloměr planety:  $r_p = 2440\text{km}$
- uvažujeme nulový vnější potenciál:  $U^{(ext)} = 0$
- předepisujeme radiální složku pole na spodní hranici (hranice vnitřního jádra a stabilní vrstvy)
- normálová a tečná složka musí být spojitá na hranicích vrstev

- magnetické pole uvnitř

$$\vec{B} = \sum_{j=1}^{\infty} \sum_{m=-j}^j \sum_{l=j-1}^{j+1} \alpha_{jm}^l w_l(kr) \vec{Y}_{jm}^l(\vartheta, \varphi)$$

- potenciál

$$U = r_p \sum_{j=1}^{\infty} \sum_{m=-j}^j \left[ \left(\frac{r}{r_p}\right)^j G_{jm}^{(e)} + \left(\frac{r_p}{r}\right)^{j+1} G_{jm}^{(i)} \right] Y_{jm}(\vartheta, \varphi)$$

- vede na vztah pro mag. pole vně

$$\begin{aligned} \vec{B} &= -\nabla U = \\ &= -\sum_{j=1}^{\infty} \sum_{m=-j}^j \left[ \sqrt{j(2j+1)} \left(\frac{r}{r_p}\right)^{j-1} G_{jm}^{(e)} \vec{Y}_{jm}^{j-1}(\vartheta, \varphi) + \right. \\ &\quad \left. \sqrt{(j+1)(2j+1)} \left(\frac{r_p}{r}\right)^{j+2} G_{jm}^{(i)} \vec{Y}_{jm}^{j+1}(\vartheta, \varphi) \right] \end{aligned}$$

- žádné plošné proudy, podmínka spojitosti  $\vec{B}$  na rozhraní
 
$$\vec{e}_r \cdot \vec{B}_s = \sum_{jm} \sqrt{\frac{j}{2j+1}} \alpha_{jm}^{j-1} [w_{j-1}(k_s r) + w_{j+1}(k_s r)] Y_{jm}(\vartheta, \varphi)$$

$$= \sum_{jm} \sqrt{j(2j+1)} \alpha_{jm}^{j-1} \frac{w_j(k_s r)}{k_s r} Y_{jm}(\vartheta, \varphi)$$

$$\vec{e}_r \times \vec{B}_s =$$

$$i \sum_{jm} \sqrt{\frac{j+1}{2j+1}} \alpha_{jm}^{j-1} [w_{j-1}(k_s r) - \frac{j}{j+1} w_{j+1}(k_s r)] \vec{Y}_{jm}^j(\vartheta, \varphi)$$

$$= i \sum_{jm} \sqrt{\frac{2j+1}{j+1}} \alpha_{jm}^{j-1} \frac{1}{k_s r} \frac{d}{dr} (r w_j(k_s r)) \vec{Y}_{jm}^j$$
- parametry  $\alpha$  jsou v daných vrstvách konstantní

- $h_{jm}(r) := \alpha_{jm}^{j-1} \frac{1}{k_s r} w_j(k_s r)$
- $t_{jm}(r) := \frac{d}{dr}(r w_j(k_s r)) \frac{\alpha_{jm}^{j-1}}{k_s}$
- což vede na jednodušší zápis:
- $\vec{e}_r \cdot \vec{B}_s = \frac{1}{r} \sum_{jm} \sqrt{\frac{j}{2j+1}} h_{jm}(r) Y_{jm}$
- $\vec{e}_r \times \vec{B}_s = \frac{i}{r} \sum_{jm} \sqrt{\frac{j+1}{2j+1}} t_{jm}(r) \vec{Y}_{jm}^j$

- $\frac{\alpha_{jm}^{j-1}}{k_s} w_j(k_s r) = a_{jm}^s J_j(k_s r) + b_{jm}^s Y_j(k_s r) = h_{jm}(r)$
- $t_{jm}(r) = a_{jm}^s \frac{d}{dr}(rJ_j(k_s r)) + b_{jm}^s \frac{d}{dr}(rY_j(k_s r))$
- maticově:

$$\begin{pmatrix} h_{jm} \\ t_{jm} \end{pmatrix} (r) = A_j^s(r) \begin{pmatrix} a_{jm}^s \\ b_{jm}^s \end{pmatrix}$$

- kde

$$A_j^s(r) = \begin{pmatrix} J_j(k_s r) & Y_j(k_s r) \\ \frac{d}{dr}(rJ_j(k_s r)) & \frac{d}{dr}(rY_j(k_s r)) \end{pmatrix}$$



- ze vztahu na dolní, resp. horní, hranici:

$$\begin{pmatrix} h_{jm} \\ t_{jm} \end{pmatrix} (r_{s-1}) = A_j^s(r_{s-1}) \begin{pmatrix} a_{jm}^s \\ b_{jm}^s \end{pmatrix}$$

$$\begin{pmatrix} h_{jm} \\ t_{jm} \end{pmatrix} (r_s) = A_j^s(r_s) \begin{pmatrix} a_{jm}^s \\ b_{jm}^s \end{pmatrix}$$

- získáme maticový vztah na hranicích dané vrstvy

$$\begin{pmatrix} h_{jm} \\ t_{jm} \end{pmatrix} (r_s) = A_j^s(r_s) [A_j^s(r_{s-1})]^{-1} \begin{pmatrix} h_{jm} \\ t_{jm} \end{pmatrix} (r_{s-1})$$

(Pěč et al., 1985)

- přenosová matice s-té vrstvy má tvar

$$\Rightarrow B_j^s = \begin{pmatrix} P_j + z_2 Q_j & -P_j \\ P_j + z_1 R_j + z_2 Q_j + z_1 z_2 S_j & -P_j - z_1 R_j \end{pmatrix} z_2$$

- kde  $z_1 = k_s r_s$  a  $z_2 = k_s r_{s-1}$

$$\begin{aligned} P_{j+1} &= S_j + \frac{j^2}{z_1 z_2} P_j - \frac{j}{z_1} Q_j - \frac{j}{z_2} R_j \\ Q_{j+1} &= \frac{j}{z_1} P_j - \frac{j+2}{z_2} P_{j+1} - R_j \\ R_{j+1} &= \frac{j}{z_2} P_j - \frac{j+2}{z_1} P_{j+1} - Q_j \\ S_{j+1} &= R_j - \frac{(j+2)^2}{z_1 z_2} P_{j+1} - \frac{j+2}{z_1} Q_{j+1} - \frac{j+2}{z_2} R_{j+1} \end{aligned}$$

- kontrolní součin a počáteční podmínky mají tvar:

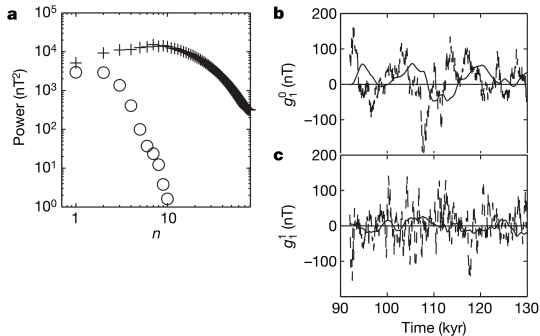
$$\begin{aligned}P_j S_j - Q_j R_j &= \frac{1}{z_1^2 z_2^2} \\P_0 &= \frac{\sin(z_2 - z_1)}{z_1 z_2} \\Q_0 &= \frac{\cos(z_2 - z_1)}{z_1 z_2} - \frac{\sin(z_2 - z_1)}{z_1 z_2^2} \\R_0 &= -\frac{\cos(z_2 - z_1)}{z_1 z_2} - \frac{\sin(z_2 - z_1)}{z_1^2 z_2} \\S_0 &= \frac{\sin(z_2 - z_1)}{z_1 z_2} - \frac{\cos(z_2 - z_1)}{z_1^2 z_2} + \frac{\cos(z_2 - z_1)}{z_1 z_2^2} + \frac{\sin(z_2 - z_1)}{z_1^2 z_2^2}\end{aligned}$$

- vztah pole na spodní hranici výpočetní oblasti (horní hranice magnetokonvekce) a pole na povrchu

$$\begin{pmatrix} h_{jm}(r_p) = -\frac{r_p}{\sqrt{j(2j+1)}} [jG_{jm}^{(e)} - (j+1)G_{jm}^{(i)}] \\ t_{jm}(r_p) = -r_p(j+1)\sqrt{\frac{j}{2j+1}} [G_{jm}^{(e)} + G_{jm}^{(i)}] \end{pmatrix} \\ = C \cdot \begin{pmatrix} h_{jm} \\ t_{jm} \end{pmatrix} (r_0)$$

- kde  $C = \prod_{s=N}^2 B^s$
- známe:  $G_{jm}^{(e)}, h_{jm}(r_0)$
- počítáme:  $G_{jm}^{(i)}, t_{jm}(r_0)$

- používaný kód byl otestován na správné použití rekurzí Besselových funkcí proti kódu prof. Martince
- uvažujeme periodu  $T = 10\,000$  yr
- ve stabilní vrstvě předpokládáme vodivost  $\sigma = 10^6 S.m^{-1}$  v plášti pak  $\sigma = 1 S.m^{-1}$  a menší (až o dva řády)
- z pak nabývá ve stabilní vrstvě hodnot okolo 1, v plášti pak  $10^{-4}$
- program funguje dobře pro malá  $j$  (do  $j=4$ )
- snahy o zlepšení výpočtů:  
čtyřnásobná přesnost  
vytknutí  $\frac{1}{z_1 z_2}$   
počítání Besselových funkcí jako nekonečné řady



**Figure 2 | Magnetic field spectral components of case I.** **a**, Time-averaged magnetic power spectrum versus degree  $n$  at the planetary surface ( $r = 1.32r_o$ , circles) and radial average inside the fluid core (crosses). The latter values have been scaled down by a factor of  $10^{-4}$  and represent mainly the field in the dynamo region. **b**, **c**, Time series of Gauss coefficients representing the axial dipole (**b**), and part of the equatorial dipole (**c**) at Mercury's surface (full lines). Broken lines are harmonic coefficients representing the poloidal magnetic field near the bottom of the stable layer at  $r = r_i + D/2$ , scaled down by a factor of  $10^{-2}$ .

- počítáme Jouleovské teplo
- $\int_r \frac{1}{\mu_0} |\nabla \times \vec{H}|^2 dV$
- lze pomocí rekurzí pro Besselovy funkce a vztahy pro sférické harmoniky upravit na tvar

$$\int_r \frac{1}{\mu_0} r^2 \sum_{j=1}^{\infty} \sum_{n=-j}^j (\alpha_{jm}^{j-1})^2 \frac{2j+1}{j+1} (k_s w_j(k_s r))^2 dr$$

- stabilizace kódu pro větší  $j$
- integrace vztahu obsahujícího Besselovy funkce, pomocí knihovny `slatec`
- spočítání výsledků pro různé hodnoty vodivosti